

19. Самарский А. А. Теория разностных схем.— М.: Наука, 1983.
20. Bluhm H., Bohnel K., Hoppe P. et al. Experiments with pinch-reflex diodes on ion-beam focussing and deposition at KfK's pulse generator KALIF // BEAMS'86: Proc. VIth Intern. Conf., Kobe, 1986.
21. Быстрицкий В. М., Диценко А. И. Мощные ионные пучки.— М.: Энергоатомиздат, 1984.

г. Томск

Поступила 12/VII 1988 г.,  
в окончательном варианте — 7/III 1989 г.

УДК 533.906

A. B. Еремин, B. C. Зиборов

## ЭКСПЕРИМЕНТАЛЬНОЕ ИССЛЕДОВАНИЕ НЕСТАЦИОНАРНОГО ИЗЛУЧЕНИЯ СГРУЙ УДАРНО-НАГРЕТОГО ГАЗА, СОДЕРЖАЩЕГО CO<sub>2</sub>

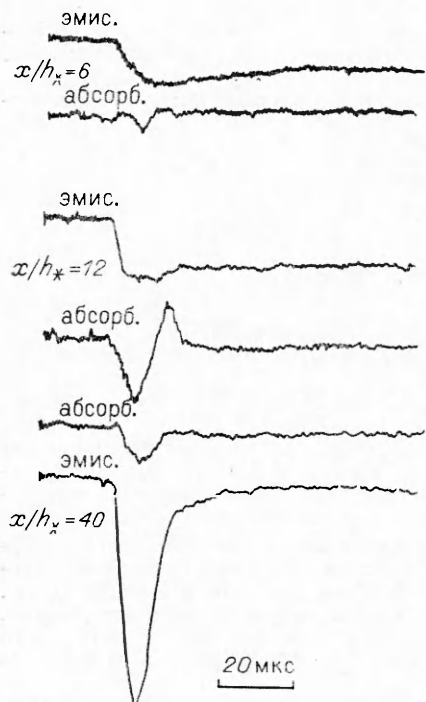
Вопросам формирования стационарного сверхзвукового потока при внезапном открывании осесимметричного или плоского сопла посвящено большое количество работ [1—5]. Известно, что при не слишком низком давлении окружающего пространства ( $P_{\infty} > 1—0,1$  Па), когда течение достаточно хорошо описывается уравнениями для сплошной среды, в стартовой области струи возникает довольно сложная нестационарная структура. Помимо самого фронта истекающего газа эта структура включает первичную ударную волну (УВ), распространяющуюся в фоновом газе, и вторичную УВ, согласующую давление в истекающем газе с давлением окружающего пространства. Вторичная УВ, распространяясь вверх по течению со скоростями, меньшими скорости потока, постепенно сносится им от сечения ее образования вблизи среза сопла до своего стационарного положения  $x_{ct} \approx 1,5 \frac{P_0}{P_{\infty}} h_*$  [6] ( $h_*$  — полуширина критического сечения сопла,  $P_0$  — давление торможения).

Таким образом, при экспериментальном наблюдении за параметрами потока в фиксированной точке  $x$  ( $0 < x < x_{ct}$ ) сначала наблюдаются повышенные значения давлений и температур, соответствующие параметрам за первичной и вторичной УВ, а затем значения, постепенно приближающиеся к своим стационарным величинам. Повышенные, по сравнению со стационарными, значения плотности и интенсивности излучения в видимой и ИК-области наблюдались в начальной зоне сигналов при измерениях в ударно-нагретых потоках в сверхзвуковых соплах и струях [7, 8].

Целью данной работы явилось экспериментальное исследование нестационарных газодинамических и физико-химических процессов, порождающих возникновение вспышки ИК-излучения на стадии формирования сверхзвуковой струи.

Эксперименты проводились на установке, представляющей собой сочетание ударной трубы диаметром 50 мм с плоской вакуумной камерой, в которой двумерная струя ограничивалась стенками на расстоянии  $l = 45$  мм. Истечение газа, нагревенного отраженной УВ, происходило через щель полушириной  $h_* = 1$  мм. Камера низкого давления ударной трубы и вакуумная камера наполнялись исследуемым газом, представляющим смесь CO<sub>2</sub> с N<sub>2</sub> и парами H<sub>2</sub>O, до давлений  $P_{\infty} = (1,3—26) \cdot 10^3$  Па. Давление толкающего газа He составляло  $(2—5) \cdot 10^6$  Па. Скорость падающей УВ измерялась по двум базам с точностью 1—2 %. Равновесные параметры газа за отраженной УВ, т. е. параметры торможения истекающей струи, варьировались в пределах  $T_0 = 1500—2500$  К и  $P_0 = (1—6) \times 10^6$  Па. Диагностика импульсной струи производилась методами многоканальной эмиссионной и абсорбционной спектроскопии в ИК-области спектра. Как эталонный источник излучения использовался источник черное тело, температура которого варьировалась в пределах 1500—2500 К и определялась непосредственно перед экспериментом с помощью ленточной вольфрамовой лампы ТРУ 1300—2350 с точностью не ниже 2 %. Все оптические элементы схемы выполнены из CaF<sub>2</sub>, в качестве приемников излучения взяты фотосопротивления ФСГ-223А, имеющие временное разрешение  $\sim 1$  мкс, пространственное разрешение каждого канала 1—2 мм.

В качестве спектральных элементов аппаратуры использовались интерференционные светофильтры фирмы «Spectrum System», имеющие



Р и с. 1

паспортизированную форму крыльев. Измерения в полосе 4,3 мкм (переходы антисимметричной моды  $v_3$ ) проводились в стороне от максимума поглощения холодного CO<sub>2</sub> в диапазоне длин волн 4,45±0,2 мкм, в полосе 2,7 мкм (переходы смешанных мод  $v_1v_3$  и  $v_2v_3$ ) — с использованием широкополосного фильтра 2,7±0,4 мкм, обеспечивающего захват всей колебательно-вращательной полосы для всего диапазона колебательных и поступательно-вращательных температур в исследуемом газе. На рис. 1 приведены примеры типовых осциллограмм, полученных на различных расстояниях от среза сопла при  $\lambda = 2,7$  мкм, из которых отчетливо видно, как с удалением от среза в стартовой зоне потока формируется интенсивный максимум как излучательной, так и поглощательной способности газа. Длительность максимума, отражающей нестационарную стадию течения, увеличивается от 20—30 мкс ( $x = 12,5$  мм) до 50—60 мкс ( $x = 40,5$  мм). Амплитуды пиков эмиссионных сигналов довольно сильно зависят от режимов течения и в наиболее «горячих» режимах на максимальных расстояниях от среза сопла достигают примерно десятикратной величины от последующих стационарных значений.

Абсорбционные сигналы, в силу того что температура источника излучения близка к температурам в исследуемом газе, в ряде случаев имеют довольно сложный вид (см. рис. 1). Качественно отклонение сигнала вверх от начального уровня соответствует более низкой температуре заселения регистрируемых спектральных переходов в исследуемом газе, чем температура источника излучения черное тело, а отклонение сигнала вниз — более высокой. При этом необходимо принимать во внимание начальный уровень поглощения излучения источника в фоновом газе, который в силу разреженности течения в струе может быть сравним с уровнем полезного сигнала.

Обработка полученных сигналов позволяла определять температуры заселения исследуемых оптически активных переходов, т. е. судить о распределении энергии в молекулах истекающего газа, а в некоторых случаях и устанавливать концентрацию поглощающих молекул (по существу, плотность потока в регистрируемой точке).

В случае трехтемпературного распределения энергии в углекислом газе (существование большинства распределения энергии в антисимметричной моде с температурой  $T_3$ , единого большинства распределения энергии в симметричной и деформационной моде с температурой  $T_2$  и поступательно-вращательной температуры  $T_t$ ) соотношение заселеностей верхнего  $N_j$  и нижнего  $N_i$  состояний  $i \rightarrow j$ -перехода имеет вид

$$(1) \quad \frac{N_j g_i}{N_i g_j} = \exp - \left[ \frac{hc}{k} \left( \frac{\omega_{\text{bp}}^{ij}}{T_t} + \frac{\omega_{1,2}^{ij}}{T_2} + \frac{\omega_3^{ij}}{T_3} \right) \right].$$

Здесь  $g_i$  и  $g_j$  — статистические веса соответствующих состояний;  $\omega_{\text{bp}}^{ij}$ ,  $\omega_{1,2}^{ij}$  и  $\omega_3^{ij}$  — волновые числа, определяющие вклад вращательных и колебательных степеней свободы в суммарное волновое число  $i \rightarrow j$ -перехода:  $\omega^{ij} = \omega_{\text{bp}}^{ij} + \omega_{1,2}^{ij} + \omega_3^{ij}$ . Для всех линий, входящих в полосу

4,3 мкм CO<sub>2</sub>,  $\omega_{1,2} \ll \omega_3$ , однако вклад слагаемого  $\omega_{\text{вр}}^{ij}/T_t$  по сравнению с  $\omega_3^{ij}/T_3$  при  $T_t \ll T_3$  может быть замечен. Учет этого слагаемого в соотношении (1) требует предварительной информации о величине  $T_t$ . При наиболее неблагоприятных условиях ( $T_t \approx 500$  К,  $T_3 \approx 2000$  К) погрешность, вносимая пренебрежением  $\omega_{\text{вр}}^{ij}/T_t$ , для используемого фильтра не превышает 10 %, поэтому интенсивность эмиссионного сигнала в спектральном диапазоне фильтра  $\Delta\omega_\Phi$  в дальнейшем приближенно записывалась как

$$(2) \quad I_e = \int_{\Delta\omega_\Phi} D_\omega R_\omega A_\omega d\omega \approx \bar{D} \bar{R} \bar{A} \Delta\omega_\Phi,$$

где  $\bar{D} = \frac{1}{\Delta\omega_\Phi} \int_{\Delta\omega_\Phi} D_\omega d\omega$  — апертурный коэффициент пропускания системы;

$\bar{A} = \frac{1}{\Delta\omega_\Phi} \int_{\Delta\omega_\Phi} A_\omega d\omega$  — усредненная поглощательная способность газа;

$\bar{R} = \frac{2hc\omega_\Phi^2}{\exp(hc\omega_\Phi/kT_3) - 1}$  ( $\omega_\Phi$  — среднее волновое число полосы пропускания фильтра). Величина  $\bar{A}$  определялась из абсорбционных измерений, в которых регистрировался сигнал

$$I_a = I_s + I_e,$$

где

$$(3) \quad I_s = (1 - \bar{A})I_0;$$

$$(4) \quad I_0 = \bar{D} \frac{2hc\omega_\Phi^2}{\exp(hc\omega_\Phi/kT_\Lambda) - 1} \Delta\omega_\Phi$$

— интенсивность излучения источника с температурой  $T_\Lambda$  и эффективным средним волновым числом  $\omega_\Phi$ , попадающая на приемник. Вводя приближенные значения  $\bar{R}$  в соотношение (2) с эффективным волновым числом  $\omega_\Phi$ , при измерениях в полосе 4,3 мкм с учетом (4) получаем

$$\frac{I_0 - I_s}{I_e} \approx \frac{\exp(hc\omega_\Phi/kT_3) - 1}{\exp(hc\omega_\Phi/kT_\Lambda) - 1},$$

т. е. экспериментальные измерения эмиссионных  $I_e$  и абсорбционных  $I_a$  сигналов в исследуемом газе при известной температуре источника  $T_\Lambda$  дают возможность определить колебательную температуру антисимметричной моды  $T_3$ .

Измерения в полосе 2,7 мкм производились, как отмечалось выше, с использованием широкополосного фильтра ( $\Delta\omega_\Phi \approx 1100$  см<sup>-1</sup>), что позволяло найти интегральную поглощательную способность полосы в спектральном диапазоне фильтра:

$$\bar{A} = \frac{1}{\Delta\omega_\Phi} \int_{\text{полоса}} (1 - e^{-\sigma_\omega n l}) d\omega$$

( $n$  — полная концентрация CO<sub>2</sub>), которая в случае оптически тонких слоев ( $\sigma_\omega n l \ll 1$ ) представляется в форме

$$(5) \quad \bar{A} = S_0 n l,$$

где

$$(6) \quad S_0 = \frac{1}{\Delta\omega_\Phi} \int \sigma_\omega d\omega = \frac{\pi e^2}{mc^2 \Delta\omega_\Phi} \frac{1}{z} \sum f_i g_i \exp\left(-\frac{hc\omega_{\text{вр}}^i}{kT_t} - \frac{hc\omega_{1,2}^i}{kT_2} - \frac{hc\omega_3^i}{kT_3}\right)$$

— эффективное сечение оптического перехода;  $z$  — статическая сумма молекулы CO<sub>2</sub>;  $f_i$  — сила осциллятора отдельной линии. Суммирование в (6) проводится по всем колебательно-вращательным линиям полосы.

При  $\max(T_1, T_2, T_3) \leq 2000$  К  $S_0$  с точностью  $\sim 10\%$  может быть заменено постоянной величиной

$$(7) \quad S_0 = \frac{\pi e^2}{mc^2} \frac{1}{\Delta\omega_\Phi} f_\Sigma = (3,5 \pm 0,5) \cdot 10^{-21} \text{ (см}^2\text{)}.$$

При этом экспериментальные измерения  $\bar{A} = (I_0 + I_e - I_a)/I_0$  в соответствии с (3), (5) дают непосредственную информацию о полной концентрации углекислого газа  $n$ . Значения температуры, получаемые по эмиссионным и абсорбционным измерениям в полосе 2,7 мкм в предположении (5), по существу, отвечали температуре заселения переходов ( $00^00 - 10^01$ ) и ( $00^00 - 02^01$ )  $\text{CO}_2$   $T_{2,3}$ , которую в трехтемпературном приближении (см. выше) представляем как

$$\frac{hc\omega^{ij}}{kT_{2,3}} = \frac{hc\omega_{1,2}}{kT_2} + \frac{hc\omega_3}{kT_3} + \frac{hc\omega_{\text{вр}}}{kT_{\text{т}}} \approx \frac{hc\omega_{1,2}}{kT_2} + \frac{hc\omega_3}{kT_3}.$$

Величина поглощательной способности  $\text{CO}_2$  в спектральном диапазоне  $2,7 \pm 0,4$  мкм изучалась экспериментально. Экспериментальные калибровки показали, что в холодном фоновом газе выполняется линейная зависимость закона Ламберта — Бугера

$$(8) \quad \ln(I/I_0) = -S_0 nl$$

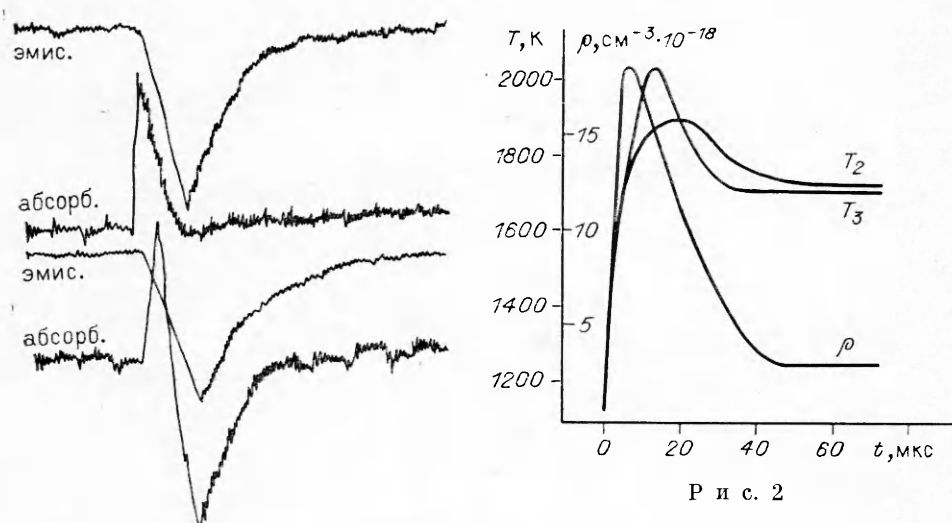
( $S_0$  определяется соотношением (7), что хорошо согласуется с литературными данными [9, 10]). Выше проанализированы предположения, при которых зависимость (8) применима для нахождения полей концентрации углекислого газа в исследуемой среде.

Таким образом, зная температуру источника излучения черное тело и полную амплитуду сигнала от него  $I_0$ , установив далее по (8) уровень поглощения в фоновом газе, можно по текущим значениям амплитуд  $I_e$  и  $I_a$  в рамках сделанных предположений определить текущие значения полной концентрации  $\text{CO}_2$  и температур заселения выделяемых спектральных переходов в полосах 4,3 и 2,7 мкм.

Некоторые дополнительные сложности анализа измерений в полосе 2,7 мкм возникали при диагностике смесей, содержащих значительное количество паров  $\text{H}_2\text{O}$ , имеющих интенсивную полосу поглощения в районе 2,7 мкм. При анализе этих экспериментов приближенно полагалось, что колебательные температуры всех мод  $\text{H}_2\text{O}$  находятся в равновесии с поступательными степенями свободы, а интегральный коэффициент поглощения  $\text{H}_2\text{O}$  при температурах 1000 К примерно в 3 раза выше, чем в  $\text{CO}_2$  [10]. Такие предположения давали возможность приближенно учитывать вклад паров  $\text{H}_2\text{O}$  как в абсорбционные, так и в эмиссионные сигналы в полосе 2,7 мкм.

На рис. 2 приведен пример обработки эмиссионно-абсорбционных сигналов, полученных на длинах волн  $2,7 \pm 0,4$  (1) и  $4,45 \pm 0,2$  (2) мкм в струе углекислого газа ( $x/h_* = 40$ ,  $T_0 = 2700$  К,  $P_0 = 3 \cdot 10^6$  Па). Видно, что стартовая зона потока характеризуется более высокими значениями плотности  $\rho$  и колебательных температур  $T_2$  и  $T_3$ , чем последующее стационарное течение. Различие в ходе температур разных колебательных мод  $\text{CO}_2$  в этих условиях весьма незначительно, в то время как в струях смеси  $1\text{CO}_2 + 10\text{N}_2$  наблюдается заметное превышение уровня возбуждения антисимметричных колебаний  $\text{CO}_2$  ( $T_3$ ) над спаренными ( $T_2$ ). Абсолютные величины обеих колебательных температур в такой смеси монотонно растут в течение всей нестационарной стадии вплоть до установления стационарных значений.

При добавлении в смесь  $1\text{CO}_2 + 10\text{N}_2$  примерно 6 %  $\text{H}_2\text{O}$  картина принципиально меняется. Заметно снижается уровень возбуждения колебаний  $\text{CO}_2$  на стационарной стадии течения, в то же время относительный (к стационарному) уровень возбуждения колебаний на стадии запуска струи становится даже более высоким, чем в струе неразбавленного  $\text{CO}_2$ .



Р и с. 2

Основой для анализа экспериментальных данных явились распределения плотности и колебательных температур вдоль оси струи на стационарной стадии течения. На рис. 3 в обобщенных координатах  $(\rho_{ст}/\rho_0)N$  и  $x/(h_* N)$  ( $N = P_0/P_\infty$ ) приведена сводка экспериментальных результатов, полученных на различных расстояниях от среза сопла и в различных режимах течения. Данные с точностью  $\pm 20\%$  обобщаются зависимостью

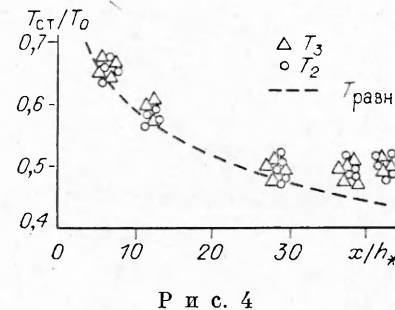
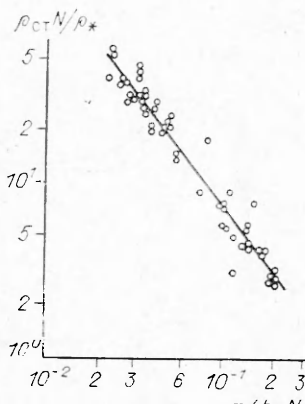
$$(9) \quad \rho_{ст}/\rho_0 = 0,14h_*/x.$$

Приведенные эмпирические распределения плотности удовлетворительно согласуются с предшествующими экспериментами и расчетами для течения в плоских струях [6, 8, 12].

Экспериментальные данные о распределении плотности вдоль оси стационарной струи были использованы далее для приближенных оценок значений поступательных температур потока в предположении полного термодинамического равновесия. На рис. 4 эти оценочные значения равновесных температур  $\text{CO}_2$  ( $T_{\text{равн}}$ ), найденные из изоэнтропических соотношений при отношении удельных теплоемкостей  $\gamma = 1,2$  (близком к равновесному для  $\text{CO}_2$  при  $T = 1000-1500$  К), сопоставлены с экспериментальными измерениями колебательных температур антисимметричной и спаренных мод  $\text{CO}_2$ . Видно, что на небольших расстояниях от среза сопла течение близко к равновесному, заметное «замораживание» колебательных температур наблюдается лишь на расстояниях  $x > (20-30) h_*$ . Качественно этот результат подтверждается сопоставлением времен колебательной релаксации  $\text{CO}_2$  [11] с характерными газодинамическими временами течения.

В смеси  $1\text{CO}_2 + 10\text{N}_2$  наблюдается некоторое расслоение колебательных температур  $\text{CO}_2$ ; так, на расстоянии  $x = 18h_*$  температура осесимметричной моды  $T_3$  составляет  $0,7-0,8$  от температуры торможения  $T_0$ , в то время как температура спаренных мод лежит несколько ниже:  $T_2 \approx (0,5-0,6)T_0$ . Значение равновесной температуры потока в этой точке, рассчитанное из изоэнтропических соотношений (при  $\gamma \approx 1,3$ ) и данных о плотности,  $T_t \approx 0,3T_0$ . Добавление в указанную смесь 6 % паров  $\text{H}_2\text{O}$  приводит к ускорению колебательной релаксации, и на расстоянии  $x = 18h_*$  колебательные температуры  $\text{CO}_2$   $T_3 \leq 0,5T_0$  и  $T_2 \leq 0,4T_0$ .

Приведенные экспериментальные результаты определили основные закономерности реализуемого стационарного сверхзвукового колебательно-неравновесного расширения из щели в пространство, ограниченное стенками. При анализе нестационарной стадии течения естественно относить измеряемые значения плотности и температур к их стационарным значениям в тех же точках потока.



Р и с. 4

Р и с. 3

При обработке всех осцилограмм отчетливо проявилось возникновение и развитие уплотненной зоны на фронте потока.

В силу конечности пространственно-временного разрешения измерений ( $\sim 2$  мм и 1 мкс) детальная структура нестационарного участка течения не анализировалась, а фиксировались лишь максимальные значения параметров (плотности и колебательных температур), регистрируемых в этой зоне.

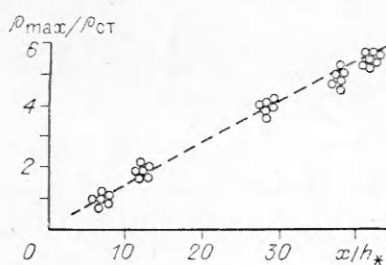
На рис. 5 представлено нарастание максимума плотности в уплотненной зоне с удалением от среза сопла. Видно, что отношение  $\rho_{\max}/\rho_{ct}$  не зависит от режима течения и может быть аппроксимировано линейной функцией типа

$$(10) \quad \rho_{\max}/\rho_{ct} = 0,15x/h_*$$

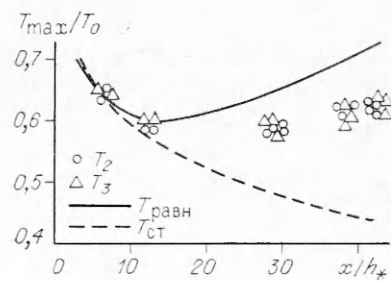
(прямая на рис. 5). Сопоставляя зависимость (10) с изменением плотности вдоль оси стационарной струи (9), нетрудно получить, что  $\rho_{\max}/\rho_\infty \approx 0,02n$ , где  $n = \rho_0/\rho_\infty$  — начальный перепад плотности и  $\rho_{\max} = 0,02\rho_0$ . Такие закономерности изменения максимума плотности в уплотненной зоне нестационарной струи в зависимости от режима течения и расстояния от среза сопла выявлены впервые. В экспериментах [13] и расчетах [3], исследовавших запуск плоского сверхзвукового сопла, можно обнаружить приблизительное постоянство плотности в данной зоне на различных расстояниях от критического сечения сопла. В [3] величина  $\rho_{\max}/\rho_\infty = \text{const}$  определялась перепадом плотности на первичной УВ, толкаемой фронтом истекающего газа. Плотность в потоке истекающего газа, сжатого вторичной УВ, в этих работах оказывалась заметно ниже  $\rho_{\max}$  и уменьшалась с удалением от среза сопла. Зависимости  $\rho_{\max}/\rho_\infty$  и  $\rho_{\max}/\rho_{ct}$  от режима течения и расстояния от среза сопла, полученные выше, позволяют определить соответствующие им числа Маха ударных волн  $M_1$  и  $M_2$ , распространяющихся в фоновом газе и в стационарном потоке. Число Маха первичной УВ

$$(11) \quad M_1 = \left[ \frac{\rho_\infty}{\rho_{\max}} \left( \frac{\gamma+1}{2} \right) - \left( \frac{\gamma-1}{2} \right) \right]^{-1/2}$$

при подстановке экспериментальных значений  $\rho_\infty/\rho_{\max}$  и предположении  $\gamma \approx 1,2$  меняется в зависимости от режима течения от 2 до 4. Равновесная температура фонового CO<sub>2</sub>, достигаемая за такой УВ, не превышает 1000 К, что значительно ниже экспериментально измеренных значений  $T_2$  и  $T_{2,3}$  в уплотненной зоне. Поэтому в дальнейшем мы связываем экспериментальные значения плотности и колебательных температур в уплотненной зоне с прохождением вторичной УВ, распространяющейся вверх по потоку истекающего газа с параметрами, близкими к стационарному течению. Числа Маха вторичной УВ  $M_2$ , определяемые по соотношению, подобному (11), при подстановке в него экспериментальных значений



Р и с. 5



Р и с. 6

$\rho_{\text{ст}}/\rho_{\text{max}}$  и предположении  $\gamma \approx 1,2$  (близкого к равновесным значениям  $\gamma$  для 1000—1500 К) меняются с удалением от среза сопла от 1 до 3,5 и могут быть аппроксимированы эмпирической зависимостью

$$(12) \quad M_2 = (0,76 \pm 0,05) + (0,06 \pm 0,01) x/h_*.$$

На рис. 6 сопоставлено изменение максимальных относительных значений колебательных температур  $T_3/T_0$  и  $T_2/T_0$  в зависимости от расстояния от среза сопла и равновесной температуры  $\text{CO}_2$  за вторичной УВ с  $M_2$ , определяемым из (12). Видно, что рост колебательных температур  $T_2$  и  $T_3$  заметно отстает от равновесной температуры. Это представляется естественным при учете реального времени  $V - T$ -релаксации  $\text{CO}_2$  в этих условиях, которое в соответствии с данными [11] составляет 3—10 мкс, что сравнимо с временем нахождения частиц потока за фронтом вторичной УВ, как это нетрудно оценить из скорости и геометрии потока.

В смеси  $1\text{CO}_2 + 10\text{N}_2$  колебательные температуры всех мод  $\text{CO}_2$  не успевают «отслеживать» изменения параметров потока в уплотненной зоне струи и имеют в прифронтовых слоях даже более низкие значения, чем в стационарном потоке. Этот эффект отражает, по-видимому, специфику проводимых экспериментов, в которых истечение струи начинается одновременно, с отражением УВ от торца трубы, в силу чего в прифронтовых слоях смеси, содержащей 91 % медленно релаксирующего азота, колебательные температуры не успевают достигнуть равновесных значений температуры торможения.

В смеси 8 %  $\text{CO}_2 + 86 % \text{N}_2 + 6 % \text{H}_2\text{O}$  процессы колебательно-поступательного обмена всех мод значительно ускоряются, при этом не только стационарное, но и нестационарное течение близко к равновесному. Так, на расстоянии  $x = 18h_*$  от среза сопла  $\rho_{\text{max}}/\rho_{\text{ст}} \approx 3$ ,  $M_2 \approx 2,2$  (при  $\gamma \approx 1,3$ ). Равновесная температура потока за такой УВ  $T_{\text{равн}}$  должна возрастать до  $T_{\text{равн}}/T_0 = T_{\text{равн}}/T_{\text{ст}} T_{\text{ст}}/T_0 \approx 0,62$ . Экспериментально наблюдавшиеся максимальные колебательные температуры  $\text{CO}_2$  в стартовой зоне потока  $T_3/T_0 \approx 0,6$  и  $T_2/T_0 \approx 0,56$ .

Таким образом, во всех исследованных режимах течения на стадии запуска струи наблюдалось возникновение и развитие уплотненной зоны, в которой колебательно-поступательный и колебательно-колебательный обмен протекает неравновесно и существенно отличается от стационарного, причем принципиальное значение в этом отличии имел состав истекающего газа и режим течения струи.

Среди наиболее характерных закономерностей, проявившихся в экспериментах, необходимо выделить увеличение относительного роста колебательных температур в уплотненной зоне (по отношению к стационарному значению) с ускорением релаксационных процессов в истекающем газе, т. е. увеличение относительной интенсивности «вспышки» ИК-излучения в момент запуска струи.

В заключение авторы благодарят И. М. Набоко за руководство работой и Э. И. Виткина за полезные обсуждения полученных результатов.

## ЛИТЕРАТУРА

1. Еремин А. В., Кочнев В. А., Куликовский А. А., Набоко И. М. Нестационарные процессы при запуске сильно недорасширенных струй // ПМТФ.— 1978.— № 1.
2. Белавин В. А., Голуб В. В., Набоко И. М. Структура импульсных струй газов, истекающих через сверхзвуковое сопло // ПМТФ.— 1979.— № 1.
3. Чекмарев С. Ф., Станкус Н. В. Газодинамическая модель и соотношения подобия для запуска сверхзвуковых сопел и струй // ЖТФ.— 1984.— Т. 54, № 8.
4. Добринин Б. М., Кисляков В. Б., Масленников В. Г. Интерферометрическое исследование начального участка сверхзвуковых недорасширенных струй газов с различным отношением удельных теплоемкостей, истекающих из конических сопел // ЖТФ.— 1980.— Т. 50, № 2.
5. Емельянов А. В., Еремин А. В., Набоко И. М. Локальное электронно-пучковое исследование процесса формирования импульсной струи // Тр. IX Всесоюз. конф. по динамике разреж. газов.— Свердловск: Изд-во Уральск. ун-та, 1988.— Т. 3.
6. Дулов В. Г., Лукьянов Г. А. Газодинамика процессов истечения.— Новосибирск: Наука, 1984.
7. Кудрявцев Н. Н., Новиков С. С., Светличный И. Б. Экспериментальное определение температуры уровня 001 молекулы углекислого газа в неравновесном потоке смесей  $\text{CO}_2 + \text{N}_2 + \text{H}_2(\text{He})$  // ФГВ.— 1977.— Т. 13, № 2.
8. Eremin A. V., Ziborov V. S., Naboko I. M. Experimental study of optical features of shock-heated jets // Optical methods of fluids and solids.— Berlin e. a.: Springer, 1985.
9. Ачаков О. В., Кудрявцев П. Н., Новиков С. С. и др. Диагностика неравновесных состояний в молекулярных лазерах.— Минск: Наука и техника, 1985.
10. Пеннер С. С. Количественная молекулярная спектроскопия и излучательная способность газов.— М.: ИЛ, 1963.
11. Гордиец Б. Ф., Осипов А. И., Шелепин Л. А. Кинетические процессы в газах и молекулярные лазеры.— М.: Наука, 1980.
12. Сквородко П. А. Колебательная релаксация в свободной струе углекислого газа // Некоторые задачи гидродинамики и теплообмена.— Новосибирск: Наука, 1980.
13. Amman H. O. Experimental study of the starting process reflection nozzle // Phys. Fluids.— 1969.— V. 12, N 5.

г. Москва

Поступила 7/III 1989 г.

УДК 536.422.4

A. Г. Гнедовец, Е. Б. Кульбацкий, С. В. Селищев, А. Л. Смирнов,  
А. А. Углов

## ДИНАМИКА ФРОНТА КОНДЕНСАЦИИ ПРИ ЛАЗЕРНОМ ВОССТАНОВЛЕНИИ МЕТАЛЛОВ В ГАЗАХ ПОВЫШЕННОГО ДАВЛЕНИЯ

Адиабатическое расширение паров мишени в вакуум при действии лазерного излучения умеренной интенсивности на твердые мишени сопровождается конденсацией пара в капли, при этом вблизи поверхности формируется конденсационный скачок [1]. В результате лазерного испарения материалов в газовой среде повышенного давления (0,1—10 МПа) также образуется конденсированная фаза [2]. При лазерном облучении оксидов в восстановительной газовой среде можно найти условия, когда конденсированная фаза состоит в основном из металлических частиц.

Эффективность физико-химических процессов лазерного восстановления оксидов в восстановительных газовых средах повышенного давления в значительной мере определяется характером газодинамических течений многофазных парогазовых смесей. Исследование динамики приповерхностной многофазной среды при воздействии лазерного излучения (ЛИ) на материалы в газах повышенного давления методом сквозной фоторегистрации показало, что характер течений в значительной мере зависит от давления и рода газа, плотности потока ЛИ и т. д. [3, 4]. Однако методом сквозной фоторегистрации не удается в деталях изучить процесс образования дисперсной фазы в области конденсации. Не удается установить и зависимость пространственно-временных характеристик области конденсации от давления газа, энергетических параметров ЛИ и т. п. Более того, остается неясным, когда начинается конденсация — во время действия ЛИ на материал или после окончания его.

В данной работе показано, что в парогазовом облаке возникает фронт конденсации, аналогичный конденсационному скачку. Методом двухэкспозиционной голограммической интерферометрии исследована динамика фронта конденсации при действии лазерного излучения на мишень в газе повышенного давления.

Схема экспериментальной установки приведена на рис. 1. Излучение диагностирующего рубинового лазера 1, проходя через диафрагму 2, расширяется отрицательной линзой 4, делится на предметный и опорный

© 1990 Гнедовец А. Г., Кульбацкий Е. Б., Селищев С. В., Смирнов А. Л.,  
Углов А. А.